

будут отличаться друг от друга, и мы получим, что $\Delta\sigma \Delta z \approx \Delta v \Delta t > 1$ для $t \neq 0$. Если же мы имеем дело со средой без дисперсии, то растяжения пакета не происходит и соотношение $\Delta\sigma \Delta z \approx \Delta v \Delta t \approx 1$ сохраняется.

Волновые пакеты в воде. Волновые пакеты, распространяющиеся по кругам на поверхности воды, можно образовать, бросая в пруд гальку. При некотором опыте удается следить за распространением групп и наблюдать, как отдельные гребни возникают позади группы, проходят через нее и рассасываются. (Это явление связано с тем, что для длин волн с $\lambda > 1,7$ см, возбуждаемых камнем средней величины, фазовая скорость больше групповой. Картина распространения волновой группы, для которой фазовая скорость в два раза больше групповой, показана на рис. 6.7.) Мы настоятельно рекомендуем понаблюдать за распространением волновых групп. Вначале возникнут некоторые трудности, связанные с довольно большой скоростью распространения группы, однако усилия будут оправданы. (См. домашние опыты.)

6.4. Фурье-анализ импульсов

В п. 6.3 мы впервые встретились с представлением функции времени $\psi(t)$ в виде интеграла Фурье. Здесь мы покажем, как найти непрерывный частотный спектр для любого «разумного» импульса, а также приведем несколько примеров, представляющих большой интерес для различных областей физики.

Импульсы ограниченной длительности. Предположим, что функция $\psi(t)$ имеет форму импульса ограниченной длительности (рис. 6.8): она равна нулю до момента времени t_0 и после момента времени

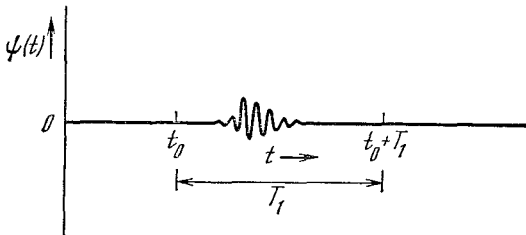


Рис. 6.8. Импульс $\psi(t)$.

Для времен более ранних, чем t_0 , и более поздних, чем $t_0 + T_1$, функция $\psi(t) = 0$.

$t_0 + T_1$. Таким образом, мы предполагаем, что существует конечный интервал времени T_1 , внутри которого происходят колебания вида $\psi(t)$ (см. рис. 6.8). Величина интервала T_1 , в общем, произвольна, однако в дальнейшем мы будем считать ее очень большой (но не бесконечно большой). (Величина $v_1 = 1/T_1$ будет нашей «единицей частоты», которую мы сможем выбрать сколь угодно малой.)

В п. 2.3 мы применили фурье-анализ для разложения периодической функции $F(t)$, определенной для всех t и имеющей период

T_1 , так что $F(t+T_1)=F(t)$. Мы умеем также применять фурье-анализ к функции, определенной в ограниченном интервале времени t . В этом случае мы строили новую периодическую функцию, определенную для всех t и совпадающую с исходной функцией на временном интервале, равном периоду. Продолжив таким образом исходную функцию и сделав ее периодической, можно применить формулы, выведенные для периодических функций. Здесь мы поступим точно так же. Образуем периодическую функцию $F(t)$ с периодом T_1 ; на каждом периоде $F(t)$ является копией импульса $\psi(t)$ (рис. 6.9).

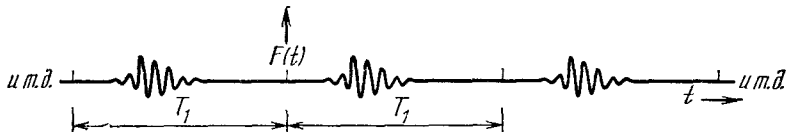


Рис. 6.9. Периодическая функция $F(t)$ с периодом T_1 , полученная «повторением» импульса $\psi(t)$ в последовательные интервалы времени протяженностью T_1 .

Разложение функции $F(t)$ в ряд Фурье определяется выражениями (2.49) — (2.52) из п. 2.3. Приведем заново результаты, которые нам понадобятся:

$$F(t) = B_0 + \sum_{n=1}^{\infty} A_n \sin n\omega_1 t + \sum_{n=1}^{\infty} B_n \cos n\omega_1 t, \quad (73)$$

где

$$\omega_1 = 2\pi\nu_1 = \frac{2\pi}{T_1}. \quad (74)$$

Тогда

$$B_0 = \frac{1}{T_1} \int_{t_0}^{t_0+T_1} F(t) dt, \quad (75)$$

$$B_n = \frac{2}{T_1} \int_{t_0}^{t_0+T_1} F(t) \cos n\omega_1 t dt, \quad (76)$$

$$A_n = \frac{2}{T_1} \int_{t_0}^{t_0+T_1} F(t) \sin n\omega_1 t dt, \quad (77)$$

где $n=1, 2, 3, \dots$. Постараемся применить формулы (73) — (77) к нашей задаче о представлении функции $\psi(t)$ в виде суперпозиции гармонических колебаний.

Заметим, что коэффициент B_0 в разложении (73) равен нулю. Действительно, функция $\psi(t)$ равна нулю вне своего интервала T_1 , а в пределах этого интервала осциллирует. С физической точки зрения равенство $B_0=0$ означает, что в системе нет «постоянного смещения» или «постоянного напряжения», т. е. в общем случае у процесса, заданного функцией $\psi(t)$, нет постоянной составляющей. Это не означает, конечно, отсутствия таких процессов, для которых функция $\psi(t)$ имела бы вне T_1 не нулевое, а какое-либо конечное

значение. Мы просто не рассматриваем сейчас такие случаи. Сила принципа суперпозиции заключается в том, что он дает возможность не рассматривать не интересующие нас члены суперпозиции, с той оговоркой, что «мы уже рассматривали их и позже добавим эти члены в результат».]

Переход от суммы Фурье к интегралу Фурье. Рассмотрим несколько первых членов в бесконечных суммах разложения (73). Эти члены имеют вид $A_1 \sin \omega_1 t + B_1 \cos \omega_1 t$, $A_2 \sin 2\omega_1 t + B_2 \cos 2\omega_1 t$ и т. д. Покажем, что эти первые члены пренебрежимо малы. Из рис. 6.8 мы видим, что у функции $\psi(t)$ нет компонент с периодом большим, чем T_1 . Искусственно построенная функция $F(t)$ будет иметь компоненту с периодом T_1 . Но так как выбор T_1 произведен (за исключением особых случаев), то мы можем сделать этот интервал очень большим, так что соответствующая угловая частота $\omega_1 = -2\pi/T_1$ будет очень малой. Константы A_1 , A_2 , B_1 , B_2 и т. д. при соответствующем выборе T_1 могут быть сделаны очень малыми, и ими можно пренебречь. В частности, мы можем сделать T_1 таким, что первыми несколькими константами A_n и B_n можно пренебречь. Под «первымиическими A_n и B_n » мы подразумеваем, например, первые десять тысяч членов. Теперь рассмотрим такие n , для которых уже нельзя пренебречь членами A_n и B_n . Рассмотрим два последовательных члена в уравнении (73), n и $n+1$:

$$F(t) = \dots + A_n \sin n\omega_1 t + A_{n+1} \sin(n\omega_1 + \omega_1) t + \dots \quad (78)$$

Если T_1 достаточно велико, мы можем предположить, что ω_1 столь мало, а n столь велико, что A_{n+1} отличается от A_n на бесконечно малую величину. В этом случае мы можем заменить $n\omega_1$ на непрерывную переменную ω и рассматривать A_n как непрерывную функцию частоты ω :

$$\omega = n\omega_1. \quad (79)$$

Пусть $\delta\omega$ — приращение ω при увеличении n на δn :

$$\delta\omega = \omega_1 \delta n, \quad \delta n = \delta\omega/\omega_1. \quad (80)$$

Далее, пусть δn настолько мало, что коэффициенты A_n в диапазоне от n до $n+\delta n$ можно считать практически равными. В этом случае мы можем сгруппировать члены, соответствующие диапазону δn в уравнении (78), считая, что все они имеют одинаковую частоту ω (среднее значение ω в диапазоне $\delta\omega$). Перепишем разложение (78) следующим образом [используя равенства (79) и (80)]:

$$\begin{aligned} F(t) &= \dots + \delta n A_n \sin n\omega_1 t + \dots = \dots + \delta\omega \frac{A_n}{\omega_1} \sin \omega t + \dots \equiv \\ &\equiv \dots + \delta\omega A(\omega) \sin \omega t + \dots = \int_0^\infty A(\omega) \sin \omega t d\omega + \dots \end{aligned} \quad (81)$$

Чтобы получить последнее из равенств (81), мы заменили сумму по последовательности полос с шириной $\delta\omega$ интегралом, а $\delta\omega$ — более общий символ $d\omega$. Точки (...) в формуле (81) соответствуют

второй сумме в (73), а именно $\sum B_n \cos n\omega_1 t$. Эту сумму также можно представить в виде интеграла. Окончательно получаем

$$F(t) = \int_0^\infty A(\omega) \sin \omega t d\omega + \int_0^\infty B(\omega) \cos \omega t d\omega, \quad (82)$$

$$A(\omega) = A(n\omega_1) = A_n/\omega_1, \quad B(\omega) = B(n\omega_1) = B_n/\omega_1. \quad (83)$$

Заметим, что переменная ω имеет нижний предел, равный нулю. Это справедливо потому, что A_n и B_n равны (примерно) нулю при n , близких к нулю, и поэтому $A(\omega)$ и $B(\omega)$ должны равняться нулю при $\omega=0$.

Из равенств (83) и (77) имеем

$$A(\omega) = \frac{2}{\omega_1 T_1} \int_{t_0}^{t_0 + T_1} F(t) \sin \omega t dt;$$

учитывая, что $\omega_1 T_1 = 2\pi$, получим

$$A(\omega) = \frac{1}{\pi} \int_{-\infty}^{\infty} \psi(t) \sin \omega t dt.$$

В последнем равенстве мы учли тот факт, что интеграл по периоду от искусственно построенной периодической функции $F(t)$ равен интегралу по времени от $-\infty$ до $+\infty$ от непериодического импульса $\psi(t)$.

Интеграл Фурье. Мы пришли к выводу, что вместо периодической функции $F(t)$ можем написать в выражении (82) первоначальную функцию $\psi(t)$. Для этой функции справедливо следующее разложение, которое называется *интегралом Фурье*:

$$\boxed{\psi(t) = \int_0^\infty A(\omega) \sin \omega t d\omega + \int_0^\infty B(\omega) \cos \omega t d\omega,} \quad (84)$$

где коэффициенты $A(\omega)$ и $B(\omega)$ равны

$$A(\omega) = \frac{1}{\pi} \int_{-\infty}^{\infty} \psi(t) \sin \omega t dt, \quad (85)$$

$$B(\omega) = \frac{1}{\pi} \int_{-\infty}^{\infty} \psi(t) \cos \omega t dt. \quad (86)$$

Рассмотрим несколько интересных применений этих формул.

Приложениe. *Прямоугольный частотный спектр.* Пусть функция $A(\omega)$ равна нулю для всех ω , а функция $B(\omega)$ постоянна для ω между ω_1 и ω_2 и равна нулю для всех других значений ω . Выберем постоянное значение $B(\omega)$ таким, чтобы площадь под $B(\omega)$

была равна единице, т. е.

$$\left. \begin{array}{ll} B(\omega) = \frac{1}{\Delta\omega} & \text{для } \omega_1 \leq \omega \leq \omega_2 = \omega_1 + \Delta\omega, \\ B(\omega) = 0 & \text{для остальных } \omega. \end{array} \right\} \quad (87)$$

(Так как $B(\omega)$ имеет размерность обратной частоты, то функция $\psi(t)$ должна быть безразмерной.) Функция $\psi(t)$ вычисляется следующим образом:

$$\begin{aligned} \psi(t) &= \int_0^{\infty} A(\omega) \sin \omega t d\omega + \int_0^{\infty} B(\omega) \cos \omega t d\omega = \\ &= 0 + \int_{\omega_1}^{\omega_2} \frac{1}{\Delta\omega} \cos \omega t d\omega = \frac{1}{\Delta\omega} \frac{\sin \omega t}{t} \Big|_{\omega=\omega_1}^{\omega=\omega_2}, \end{aligned}$$

т. е.

$$\psi(t) = \frac{\sin \omega_2 t - \sin \omega_1 t}{\Delta\omega t} = \frac{\sin \omega_2 t - \sin \omega_1 t}{(\omega_2 - \omega_1) t}. \quad (88)$$

В этом выражении числитель представляет собой суперпозицию двух колебаний, которая дает модулированное колебание с частотой модуляции $(\omega_2 - \omega_1)/2$. Знаменатель содержит множитель t , благодаря которому $\psi(t)$ имеет наибольшее значение при $t=0$. Представим выражение (88) в виде почти гармонического колебания со средней частотой ω_0 и с медленно изменяющейся амплитудой:

$$\left. \begin{array}{ll} \omega_0 = \frac{1}{2}(\omega_2 + \omega_1), & \frac{1}{2}\Delta\omega = \frac{1}{2}(\omega_2 - \omega_1), \\ \omega_2 = \omega_0 + \frac{1}{2}\Delta\omega, & \omega_1 = \omega_0 - \frac{1}{2}\Delta\omega; \end{array} \right\} \quad (89)$$

$$\psi(t) = \frac{\sin(\omega_0 + \frac{1}{2}\Delta\omega)t - \sin(\omega_0 - \frac{1}{2}\Delta\omega)t}{\Delta\omega t} = \left[\frac{\sin \frac{1}{2}\Delta\omega t}{\frac{1}{2}\Delta\omega t} \right] \cos \omega_0 t. \quad (90)$$

Таким образом, $\psi(t)$ представляет собой «быстрое» колебание с медленно изменяющейся амплитудой $A(t)$:

$$\psi(t) = A(t) \cos \omega_0 t, \quad A(t) = \frac{\sin \frac{1}{2}\Delta\omega t}{\frac{1}{2}\Delta\omega t}. \quad (91)$$

Результат, представленный равенством (91), аналогичен результату, полученному в п. 6.3 для суперпозиции N гармонических колебаний, частоты которых равномерно распределены между границами интервала ω_1 и ω_2 . Если перейти к пределу, устремив N к ∞ , мы получим разложение (91). (См. формулы (57) и (58), п. 6.3.) Импульс $\psi(t)$ и его преобразование Фурье показаны на рис. 6.6.

Приложениe. «Прямоугольный» временной импульс. Пусть функция $\psi(t)$ равна нулю всюду, кроме промежутка Δt , центрированного относительно t_0 и простирающегося от t_1 до t_2 . В этом промежутке функция имеет постоянное значение, которое выбрано таким, чтобы интеграл от $\psi(t)$ по t был равен единице:

$$\psi(t) = \frac{1}{\Delta t}, \quad t_1 \leq t \leq t_2 = t_1 + \Delta t. \quad (92)$$

Найдем коэффициенты Фурье $A(\omega)$ и $B(\omega)$ для функции $\psi(t)$.

Если $t_0 = 0$, то $\psi(t)$ — четная функция времени, и поэтому $A(\omega)$ должно равняться нулю (так как $\sin \omega t$ — нечетная функция). Если $t_0 \neq 0$, то мы должны вычислять как $A(\omega)$, так и $B(\omega)$. Мы всегда можем облегчить вычисление, сместив ось времени, т. е. заменив t на $t - t_0$. Так как $\psi(t)$ — четная функция от $t - t_0$, то мы имеем

$$\psi(t) = \int_0^\infty B(\omega) \cos \omega(t - t_0) d\omega, \quad (93)$$

где

$$B(\omega) = \frac{1}{\pi} \int_{-\infty}^{\infty} \psi(t) \cos \omega(t - t_0) dt. \quad (94)$$

Произведя это несложное интегрирование (задача 6.20), мы получим

$$B(\omega) = \frac{1}{\pi} \frac{\sin 1/2 \Delta t \omega}{1/2 \Delta t \omega}. \quad (95)$$

Прямоугольный импульс [функция (92)] и его фурье-коэффициент $B(\omega)$ показаны на рис. 6.10. Заметим, что если мы определяем $\Delta \omega$

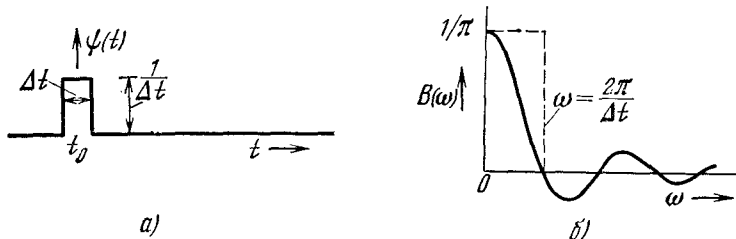


Рис. 6.10. Прямоугольный импульс $\psi(t)$ и его фурье-коэффициент $B(\omega)$.

как интервал, простирающийся от минимальной частоты (которая равна нулю) до частоты, соответствующей первому нулю в коэффициенте $B(\omega)$, то имеем

$$\Delta \omega \Delta t = 2\pi, \quad \Delta v \Delta t = 1. \quad (96)$$

Фурье-анализ хлопка с помощью рояля. Предположим, что мы хотим оценить длительность звука от хлопка руками. У нас нет ни микрофона, ни усилителя звуковых частот, ни осциллографа, но в нашем распоряжении находится рояль. Нажав на демпфирующую педаль (освободив тем самым все струны), расположим руки под поднятой крышкой рояля и хлопнем в ладони. Рояль будет играть роль частотного анализатора. Оцените наивысший тон, для которого интенсивность звука достаточно велика. Можно сказать, что для этой частоты справедливо приближенное равенство $v \approx 1/\Delta t$. Этот пример, как следует из дальнейших рассуждений, дает нам дополнительное представление о смысле анализа Фурье.

С некоторым приближением мы можем считать, что воздушная волна давления длительностью Δt воздействует на все струны в одно

и то же время и в одном направлении. Струны начинают колебаться с собственными частотами. Те струны, частоты которых малы по сравнению с $1/\Delta t$, совершают только часть полного колебания за время действия силы. Эти струны испытывают ускорение в течение всего времени Δt действия силы. Струны с периодом, точно равным Δt , ускоряются волной давления в течение первой полуволны длительностью $\Delta t/2$ и тормозятся в течение следующей полуволны. Замедление и ускорение, получаемые струной за время $\Delta t/2$, равны по величине, и поэтому после прекращения действия силы струна не колеблется. Таким образом, струны с собственными частотами от нуля до значения несколько меньшего, чем $1/\Delta t$, возбуждаются с положительной амплитудой. Струна с частотой $1/\Delta t$ имеет нулевую амплитуду: эта частота определяет первый нуль для коэффициента $B(\omega)$ в выражении (95). Струны с частотами между $1/\Delta t$ и $2/\Delta t$ сделают от одного до двух полных колебаний за время Δt . Струна с частотой $2/\Delta t$ совершил за это время два полных колебания и успокоится. Эта частота соответствует второму нулю $B(\omega)$. Струна с частотой $1,5/\Delta t$ будет вести себя следующим образом: после окончания первого цикла колебаний на эту струну в течение первой половины второго цикла будет действовать сила того же направления. Эта струна получит $1/3$ часть импульса силы, так как она совершает три полуцикла собственных колебаний, причем вклады от двух из них взаимно уничтожаются. Струна с частотой собственных колебаний $1/2(1/\Delta t)$ за Δt совершил лишь полуцикла колебаний, а амплитуда ее должна быть в три раза больше, чем для струны с частотой колебаний $v=1,5(1/\Delta t)$. Из равенства (95) следует, что коэффициент $B(\omega)$ для $\omega \Delta t = \pi$ действительно в три раза больше, чем для $\omega \Delta t = 3\pi$.

Этот пример показывает, что рояль или аналогичный музыкальный инструмент можно использовать в качестве частотного анализатора. (Мы пренебрегаем тем фактом, что связь воздуха со струнами может и не быть столь совершенной.) Заметим, что из пианино, используемого в качестве анализатора, очень трудно получить информацию о фазе колебаний. Однако для нашего уха фаза не представляет интереса. Это общая ситуация; часто нас не интересуют коэффициенты $A(\omega)$ и $B(\omega)$ по отдельности, так что мы можем ограничиться интенсивностью $I(\omega)$ фурье-разложения, которая определяется следующим образом:

$$I(\omega) = A^2(\omega) + B^2(\omega). \quad (97)$$

Дельта-функция времени. Если продолжительность Δt прямоугольного импульса значительно короче периода колебания наибольшей частоты, который мы можем обнаружить, то коэффициент $B(\omega)$ постоянен для регистрируемого нами диапазона частот. Это утверждение можно пояснить при помощи рис. 6.10. Если устремить Δt к нулю, то первый нуль функции $B(\omega)$ устремится к $+\infty$ и для любой частоты функция $B(\omega)$ будет равна $1/\pi$. Импульс, определяемый функцией (92), называется дельта-функцией времени, если Δt

достаточно мало. Например, наивысшая частота ноты рояля $\nu \approx 5000$ гц, и поэтому любой звуковой импульс длительностью меньше десятой миллисекунды будет возбуждать колебания всех струн. Нужно заметить, что с помощью рояля мы не сможем отличить этот звуковой импульс от звукового импульса, в десять раз большего по величине, длительность которого на порядок меньше. В обоих случаях конечный результат движения струн будет одинаков.

Приложение. Затухающий гармонический осциллятор; естественная ширина линии. Нас интересует частотный спектр, т. е. «форма линии» видимого света, испускаемого атомом, среднее время жизни которого порядка $\tau \approx 10^{-8}$ сек. Если бы нас интересовала лишь ширина спектральной линии, то ее легко определить, и мы знаем, что она порядка $1/\tau$, т. е. 10^8 гц. Нас однако интересует большее, а именно детальная форма линии. Будем считать, что моделью атома является затухающий гармонический осциллятор. Это значит, что функция $\psi(t)$ равна нулю для всех $t < t = 0$, а при $t = 0$ действует скачкообразное возмущение и функция имеет вид

$$\psi(t) = e^{-1/2\Gamma t} \cos \omega_1 t. \quad (98)$$

(Мы полагаем постоянную амплитуду равной единице, чтобы сократить вычисления.) Коэффициент затухания обратно пропорционален среднему времени жизни атома:

$$\Gamma = 1/\tau. \quad (99)$$

Пусть частота колебаний нашей модели атома в отсутствие затухания равна ω_0 . Мы знаем (см. главу 3), что частота затухающих колебаний ω_1 следующим образом связана с ω_0 и Γ :

$$\omega_1^2 = \omega_0^2 - 1/4\Gamma^2. \quad (100)$$

Выразим равенство (98) с помощью интеграла Фурье:

$$\psi(t) = \int_{-\infty}^{\infty} A(\omega) \sin \omega t d\omega + \int_0^{\infty} B(\omega) \cos \omega t d\omega. \quad (101)$$

Имеем

$$2\pi A(\omega) = 2 \int_{-\infty}^{\infty} \psi(t) \sin \omega t dt = \int_0^{\infty} e^{-1/2\Gamma t} 2 \cos \omega_1 t \sin \omega t dt = \\ = \int_0^{\infty} e^{-1/2\Gamma t} [\sin(\omega + \omega_1)t + \sin(\omega - \omega_1)t] dt, \quad (102)$$

$$2\pi B(\omega) = 2 \int_{-\infty}^{\infty} \psi(t) \cos \omega t dt = \int_0^{\infty} e^{-1/2\Gamma t} 2 \cos \omega_1 t \cos \omega t dt = \\ = \int_0^{\infty} e^{-1/2\Gamma t} [\cos(\omega + \omega_1)t + \cos(\omega - \omega_1)t] dt. \quad (103)$$

В любой таблице определенных интегралов мы найдем

$$\int_0^{\infty} e^{-ax} \sin bx dx = \frac{b}{b^2 + a^2}, \quad (104)$$

$$\int_0^{\infty} e^{-ax} \cos bx dx = \frac{a}{b^2 + a^2}. \quad (105)$$

Равенства (102) и (103) дают

$$2\pi A(\omega) = \frac{(\omega + \omega_1)}{(\omega + \omega_1)^2 + (1/2\Gamma)^2} + \frac{(\omega - \omega_1)}{(\omega - \omega_1)^2 + (1/2\Gamma)^2}, \quad (106)$$

$$2\pi B(\omega) = \frac{1/2\Gamma}{(\omega + \omega_1)^2 + (1/2\Gamma)^2} + \frac{1/2\Gamma}{(\omega - \omega_1)^2 + (1/2\Gamma)^2}. \quad (107)$$

Воспользуемся равенством (100) для замены ω_1^2 на ω_0^2 . После ряда преобразований получим

$$2\pi A(\omega) = \frac{2\omega (\omega^2 - \omega_0^2) + \omega \Gamma^2}{(\omega_0^2 - \omega^2)^2 + \Gamma^2 \omega^2}, \quad (108)$$

$$2\pi B(\omega) = \frac{\Gamma (\omega^2 + \omega_0^2)}{(\omega_0^2 - \omega^2)^2 + \Gamma^2 \omega^2}, \quad (109)$$

$$I(\omega) \equiv [2\pi A(\omega)]^2 + [2\pi B(\omega)]^2 = \frac{4\omega^2 + \Gamma^2}{(\omega_0^2 - \omega^2)^2 + \Gamma^2 \omega^2}. \quad (110)$$

Сравнение свободно затухающего колебания с вынужденным колебанием. Интересно сравнить полученные результаты частотного фурье-анализа колебаний свободно затухающего гармонического осциллятора с результатами частотного анализа установившихся вынужденных колебаний. Приведем результаты, которые были получены для такой системы в п. 3.2 [равенства (3.17) и (3.32) — (3.35)]:

$$A_d(\omega) = \frac{F_0}{M} \frac{(\omega_0^2 - \omega^2)}{(\omega_0^2 - \omega^2)^2 + \Gamma^2 \omega^2}, \quad (111)$$

$$A_n(\omega) = \frac{F_0}{M} \frac{\Gamma \omega}{(\omega_0^2 - \omega^2)^2 + \Gamma^2 \omega^2}, \quad (112)$$

$$|A|^2 \equiv [A_d(\omega)]^2 + [A_n(\omega)]^2 = \frac{F_0^2}{M^2} \frac{1}{(\omega_0^2 - \omega^2)^2 + \Gamma^2 \omega^2}, \quad (113)$$

$$P(\omega) = \frac{1}{2} \frac{F_0^2}{M} \frac{\Gamma \omega^2}{(\omega_0^2 - \omega^2)^2 + \Gamma^2 \omega^2}, \quad (114)$$

$$E(\omega) = \frac{1}{2} \frac{F_0^2}{M} \frac{1/2 (\omega^2 + \omega_0^2)}{(\omega_0^2 - \omega^2)^2 + \Gamma^2 \omega^2}. \quad (115)$$

Сравнивая эти выражения с формулами (108) и (109), мы видим, что коэффициент $B(\omega)$ для затухающих колебаний пропорционален запасенной энергии $E(\omega)$ вынужденных колебаний. Коэффициент $A(\omega)$ для затухающих колебаний состоит из двух слагаемых: одно из них пропорционально $\omega A_d(\omega)$, а второе пропорционально

$A_n(\omega)$. При достаточно слабом затухании слагаемое, пропорциональное A_n , пренебрежимо мало, за исключением значений ω , очень близких к резонансу ω_0 ; поэтому $A(\omega)$ в этом случае практически пропорционально $\omega A_d(\omega)$. Интенсивность $I(\omega)$, определяемая как $A^2(\omega) + B^2(\omega)$, состоит из двух частей: одна часть пропорциональна поглощаемой мощности $P(\omega)$, а вторая часть, при достаточно слабом затухании, т. е. при $\Gamma^2 \ll \omega^2$, пренебрежимо мала. Поэтому можно считать, что интенсивность $I(\omega)$ для свободного затухания практически пропорциональна поглощаемой мощности $P(\omega)$ для вынужденных колебаний.

Лоренцевская форма линии; связь с резонансной кривой. В случае слабого затухания для ω , близких к ω_0 , коэффициент $B(\omega)$ и интенсивность $I(\omega)$ пропорциональны функции $L(\omega)$:

$$L(\omega) = \frac{(\Gamma/2)^2}{(\omega_0 - \omega)^2 + (\Gamma/2)^2}. \quad (116)$$

Эта функция называется *лоренцевской формой линии*. Коэффициент затухания Γ равен величине интервала частот, внутри которого $L(\omega) > 1/L(\omega_0)$. Этот интервал частот называется *шириной линии* $\Delta\omega$ частотного спектра, описывающего затухающие колебания:

$$(\Delta\omega)_{z.k} = \Gamma. \quad (117)$$

Лоренцевская форма линии (116) совпадает с брейт-вигнеровской резонансной кривой $R(\omega)$, которая дает (для слабого затухания) частотную зависимость величин $A_n(\omega)$, $|A|^2$, $E(\omega)$ и $P(\omega)$ при вынужденных колебаниях [равенство (3.36), п. 3.2]:

$$R(\omega) = \frac{(\Gamma/2)^2}{(\omega_0 - \omega)^2 + (\Gamma/2)^2}. \quad (118)$$

Полная ширина резонанса на уровне половины максимального значения равна

$$(\Delta\omega)_{рез} = \Gamma. \quad (119)$$

Таким образом, мы пришли к замечательному выводу, что для слабо затухающего гармонического осциллятора (который мы взяли в качестве модели излучающего атома) преобразование Фурье дает ту же частотную зависимость, что и резонансные характеристики вынужденных колебаний:

$$(\Delta\omega)_{z.k} = (\Delta\omega)_{рез} = \frac{1}{\tau_{z.k}}. \quad (120)$$

Измерение собственной частоты и полосы частот. Тот факт, что фурье-преобразование для затухающих свободных колебаний совпадает с резонансной кривой для установившихся вынужденных колебаний, имеет важные экспериментальные следствия. Допустим, что мы хотим определить а) первую моду рояльной струны и б) энергию первого возбужденного состояния атома.

Рассмотрим три способа, которыми это можно сделать:

1. Временная зависимость свободных колебаний. В зависимости от того, с какой из двух систем мы имеем дело, мы можем воспользоваться либо молоточком рояля, либо столкновением атома с другим атомом для внезапного возбуждения системы в момент $t=0$. Произведя скоростные фотоснимки движения затухающего осциллятора, мы можем построить график смещения в зависимости от времени. Это возможно для рояльной струны, но для атома невозможно, даже в принципе. (В томе «Квантовая физика» будет показано, почему это невозможно.)

2. Резонансная характеристика вынужденного колебания. Пусть в установившемся режиме на систему воздействует гармоническая сила $F_0 \cos \omega t$. Будем менять частоту внешней силы и измерять поглощаемую мощность $P(\omega)$ как функцию частоты. Это можно

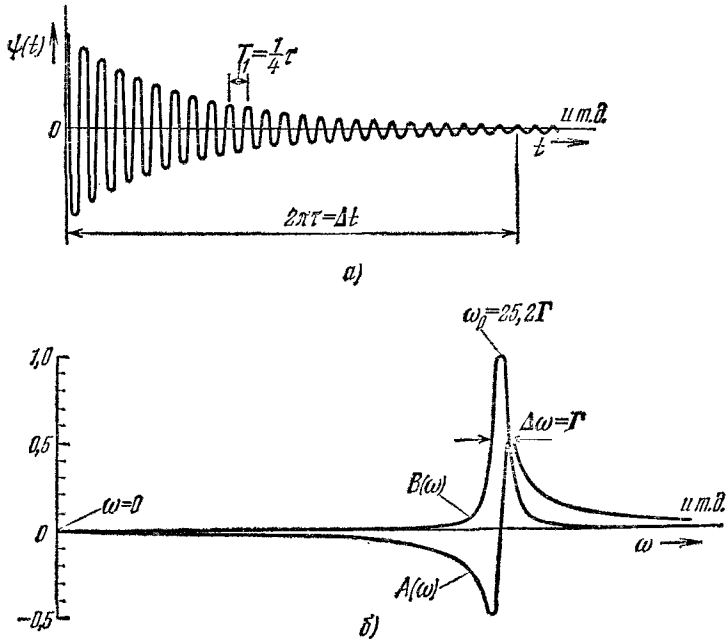


Рис. 6.11. Слабо затухающий гармонический осциллятор.

а) Импульс $\psi(t) = \exp[-1/2t/\tau] \cos \omega t$ при $\omega_1 = 8\pi\Gamma$, т. е. $t = 4\tau$; б) фурье-коэффициенты для непрерывной суперпозиции гармонических членов.

$$\int_0^{\infty} [A(\omega) \sin \omega t + B(\omega) \cos \omega t] d\omega.$$

сделать не только для струны рояля, но и для некоторых возбужденных состояний атомов, если на них действует установившееся электромагнитное излучение. Снимая зависимость P от ω , можно найти ω_0 и Γ .

3. Фурье-анализ испускаемого спектра. Выполним фурье-анализ излучения для системы, внезапно приведенной в возбужден-

ное состояние. Это возможно как для струны рояля, так и для некоторых возбужденных состояний атома, если измерять частоты испускаемого атомом света. Легче всего измерить интенсивность излучения в зависимости от частоты. Эта величина пропорциональна интенсивности $I(\omega)$, получаемой из фурье-анализа. Зная функцию $I(\omega)$, мы можем получить частоту ω_0 и ширину полосы Γ . На рис. 6.11 показаны затухающие колебания гармонического осциллятора и коэффициенты Фурье $A(\omega)$ и $B(\omega)$. Для того чтобы в произведении ширины полосы на интервал времени $\Delta\omega \Delta t \geqslant 2\pi$ получить точное равенство, мы должны определить длительность Δt как произведение 2π на среднее время жизни τ . Тогда равенство (120) примет вид $\Delta\omega \Delta t = 2\pi$.

6.5. Фурье-анализ бегущих волновых пакетов

Предположим, что передатчик в точке $z=0$ воздействует на непрерывную, однородную, одномерную открытую систему таким образом, что волновая функция $\psi(z, t)$ бегущих волн в точке $z=0$ имеет известную зависимость от времени $f(t)$:

$$\psi(0, t) = f(t). \quad (121)$$

Любая «разумная» функция $f(t)$ может быть представлена суперпозицией гармонических колебаний. Если $f(t)$ не периодическая функция времени, то суперпозиция непрерывна (по частоте) и выражается через интеграл Фурье:

$$f(t) = \int_0^{\infty} [A(\omega) \sin \omega t + B(\omega) \cos \omega t] d\omega. \quad (122)$$

Бегущие волны в однородной диспергирующей среде. Каждая гармоническая составляющая суперпозиции (122) определяет свою собственную гармоническую бегущую волну с волновым числом k , значение которого следует из дисперсионного соотношения

$$k = k(\omega). \quad (123)$$

Каждая частотная составляющая бегущей волны распространяется со своей собственной фазовой скоростью

$$v_{\Phi} = \frac{\omega}{k(\omega)}. \quad (124)$$

Вся бегущая волна $\psi(z, t)$ является суперпозицией этих гармонических бегущих волн. Это значит, что мы получим $\psi(z, t)$ и $\psi(0, t)$ заменой ωt на $\omega t - kz = \omega t - k(\omega)z$ в каждой гармонической составляющей суперпозиции (122):

$$\psi(0, t) = \int_{\omega=0}^{\infty} [A(\omega) \sin \omega t + B(\omega) \cos \omega t] d\omega, \quad (125)$$

$$\psi(z, t) = \int_{\omega=0}^{\infty} \{A(\omega) \sin [\omega t - k(\omega)z] + B(\omega) \cos [\omega t - k(\omega)z]\} d\omega. \quad (126)$$